

IUT Robert Schuman d'Illkirch

Département Chimie

IUT	Robert Schuman	
Institut universitaire de technologie		
Université de Strasbourg		



TABLES DE CORRELATIONS SPECTROSCOPIQUES

IR, RMN et Spectrométrie de Masse



IUT ROBERT
SCHUMAN

2024-2025

Sommaire

INFRA-ROUGE

Fréquences absorptions IR caractéristiques des principaux groupements fonctionnels	p. 1
Table Infra-rouge	p. 4

RÉSONNANCE MAGNÉTIQUE NUCLÉAIRE

RMN ^1H

Echelles de déplacement chimique	p. 5
Déplacements chimiques de CH, CH ₂ et CH ₃ diversement substitués	p. 6
Règles de TOBEY, PASCUAL, MEYER, SIMON pour les protons éthyléniques	p. 8
Table de déplacement chimique d'un proton aromatique	p. 9
Constantes de couplage	p. 10
Déplacements chimiques des impuretés classiquement retrouvées	p. 13

RMN ^{13}C

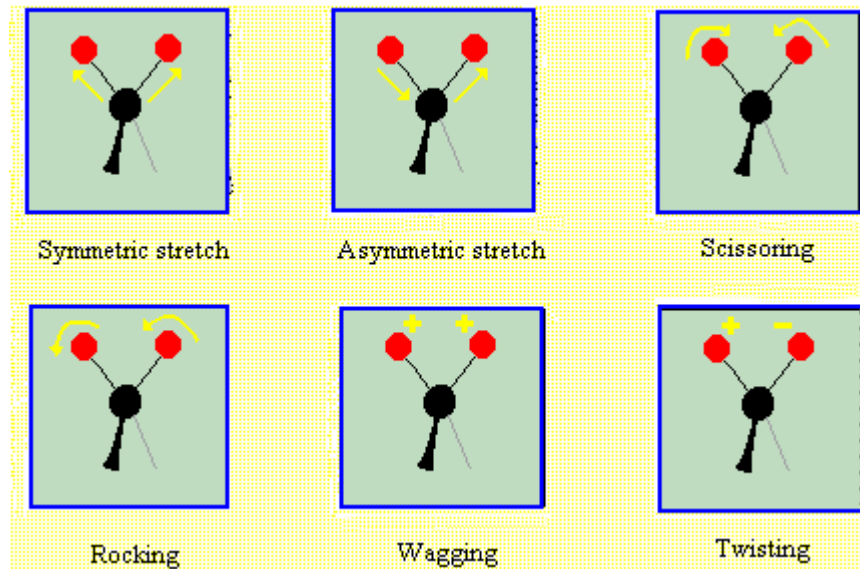
Echelles de déplacement chimique	p. 15
Déplacements chimiques des alcanes	p. 16
Déplacements chimiques des alcènes, alcynes et halogénures d'alkyle	p. 17
Déplacements chimiques des aromatiques, hétéroaromatiques et amines	p. 18
Déplacements chimiques des carbonyles et nitriles	p. 19
Constantes de couplage	p. 20
Déplacements chimiques des impuretés classiquement retrouvées	p. 21

SPECTROMÉTRIE DE MASSE

Abondance isotopique de différents éléments	p. 23
Les fragmentations les plus courantes	p. 24

Bibliographie	p. 24
---------------------	-------

Fréquences Absorptions IR Caractéristiques des Principaux Groupements Fonctionnels



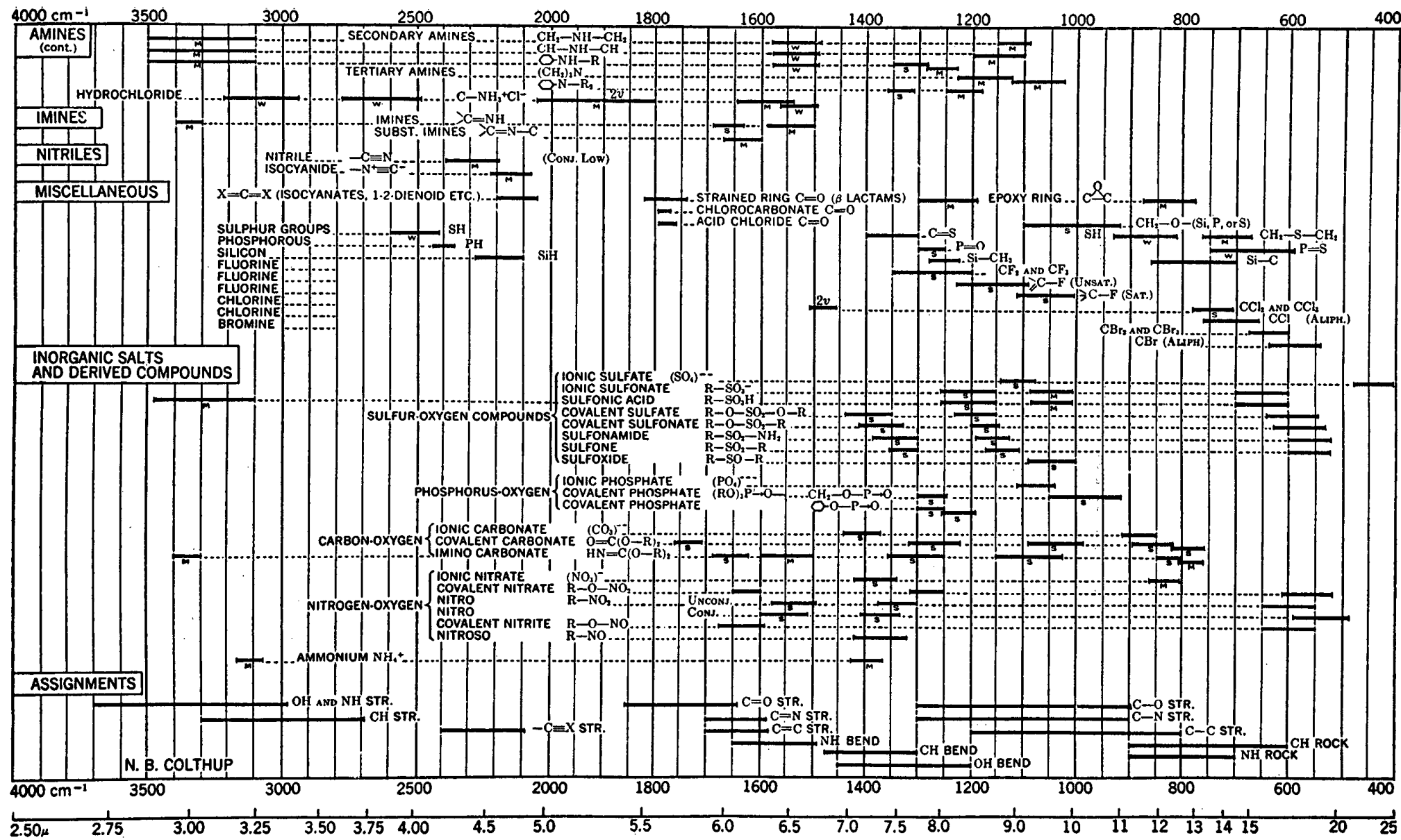
Characteristic IR Absorption Frequencies of Organic Functional Groups

Functional Group	Type of Vibration	Characteristic Absorptions (cm ⁻¹)	Intensity
Alcohol			
O-H	(stretch, H-bonded)	3200-3600	strong, broad
O-H	(stretch, free)	3500-3700	strong, sharp
C-O	(stretch)	1050-1150	strong
Alkane			
C-H	stretch	2850-3000	strong
-C-H	bending	1350-1480	variable
Alkene			
=C-H	stretch	3010-3100	medium
=C-H	bending	675-1000	strong
C=C	stretch	1620-1680	variable

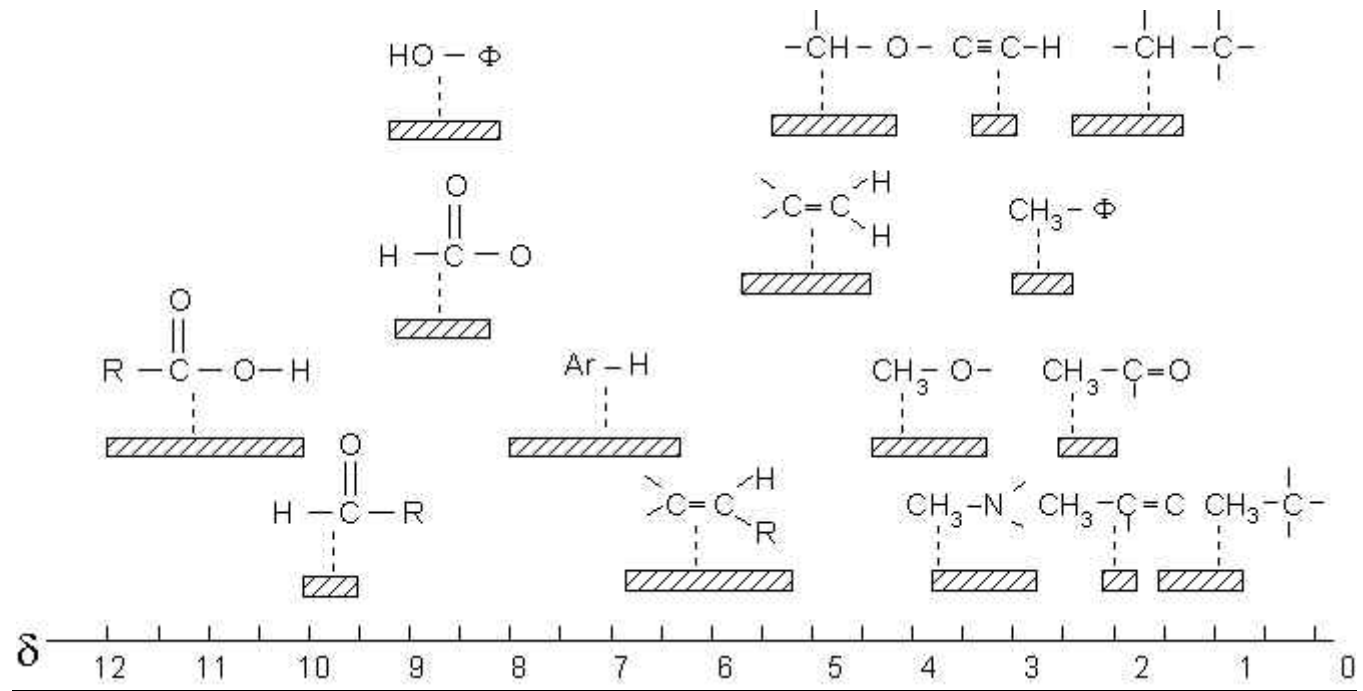
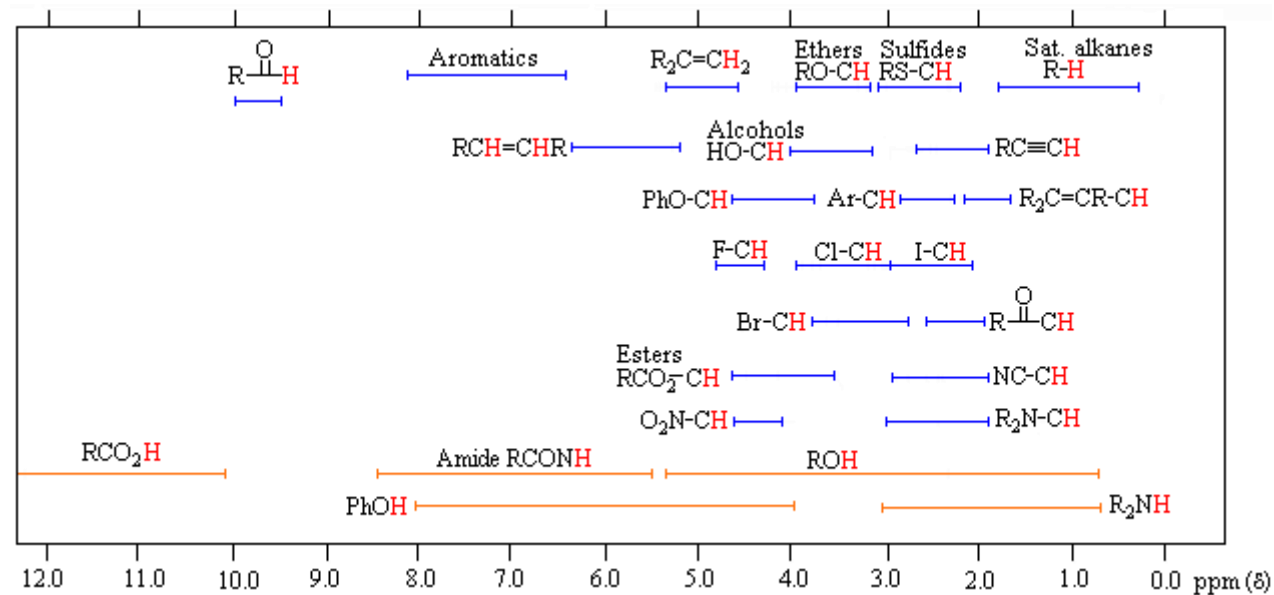
Alkyl Halide				
C-F	stretch	1000-1400		strong
C-Cl	stretch	600-800		strong
C-Br	stretch	500-600		strong
C-I	stretch	500		strong
Alkyne				
C-H	stretch	3300		strong,sharp
-C≡C-	stretch	2100-2260		variable, not present in symmetrical alkynes
Amine				
N-H	stretch	3300-3500	medium (primary amines have two bands; secondary have one band, often very weak)	
C-N	stretch	1080-1360	medium-weak	
N-H	bending	1600	medium	
Aromatic				
C-H	stretch	3000-3100	medium	
C=C	stretch	1400-1600	medium-weak, multiple bands	
Analysis of C-H out-of-plane bending can often distinguish substitution patterns				
Carbonyl				
C=O	stretch	1670-1820	strong	
(conjugation moves absorptions to lower wave numbers)				
Ether				
C-O	stretch	1000-1300 (1070-1150)	strong	
Nitrile				
CN	stretch	2210-2260	medium	
Nitro				
N-O	stretch	1515-1560 & 1345-1385	strong, two bands	

IR Absorption Frequencies of Functional Groups Containing a Carbonyl (C=O)			
Functional Group	Type of Vibration	Characteristic Absorptions (cm-1)	Intensity
Carbonyl			
C=O	stretch	1670-1820	strong
(conjugation moves absorptions to lower wave numbers)			
Acid			
C=O	stretch	1700-1725	strong
O-H	stretch	2500-3300	strong, very broad
C-O	stretch	1210-1320	strong
Aldehyde			
C=O	stretch	1740-1720	strong
=C-H	stretch	2820-2850 & 2720-2750	medium, two peaks
Amide			
C=O	stretch	1640-1690	strong
N-H	stretch	3100-3500	unsubstituted have two bands
N-H	bending	1550-1640	
Anhydride			
C=O	stretch	1800-1830 & 1740-1775	two bands
Ester			
C=O	stretch	1735-1750	strong
C-O	stretch	1000-1300	two bands or more
Ketone			
acyclic	stretch	1705-1725	strong
cyclic	stretch	4-membered - 1780 5-membered - 1745 6-membered - 1715	strong
α,β -unsaturated	stretch	1665-1685	strong
aryl ketone	stretch	1680-1700	strong

Table Infra-rouge



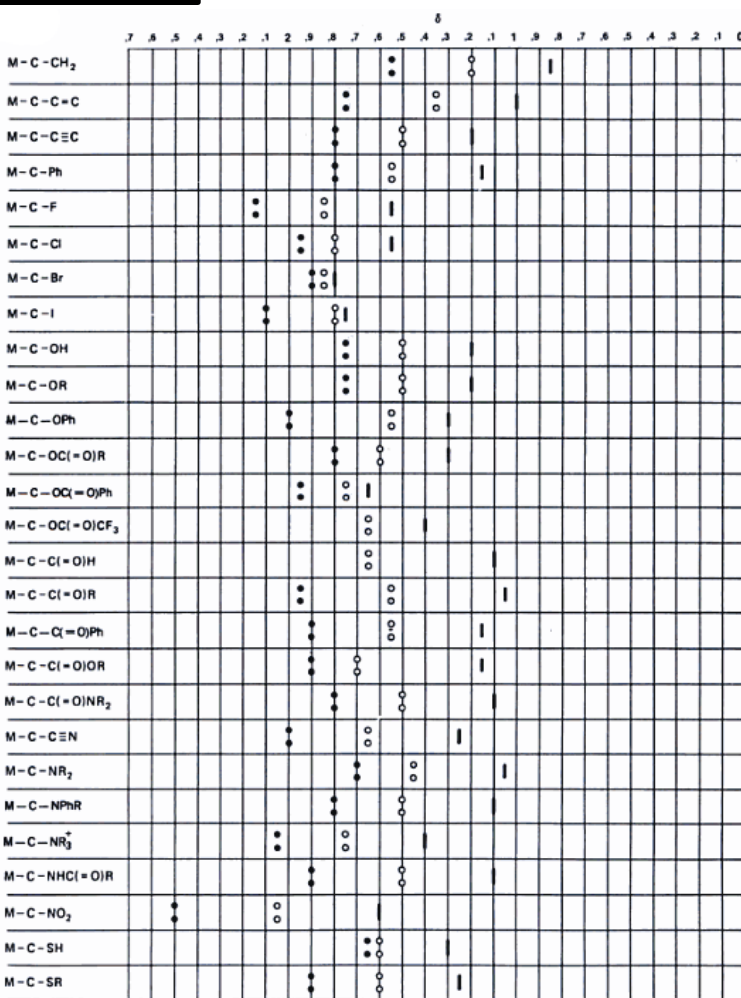
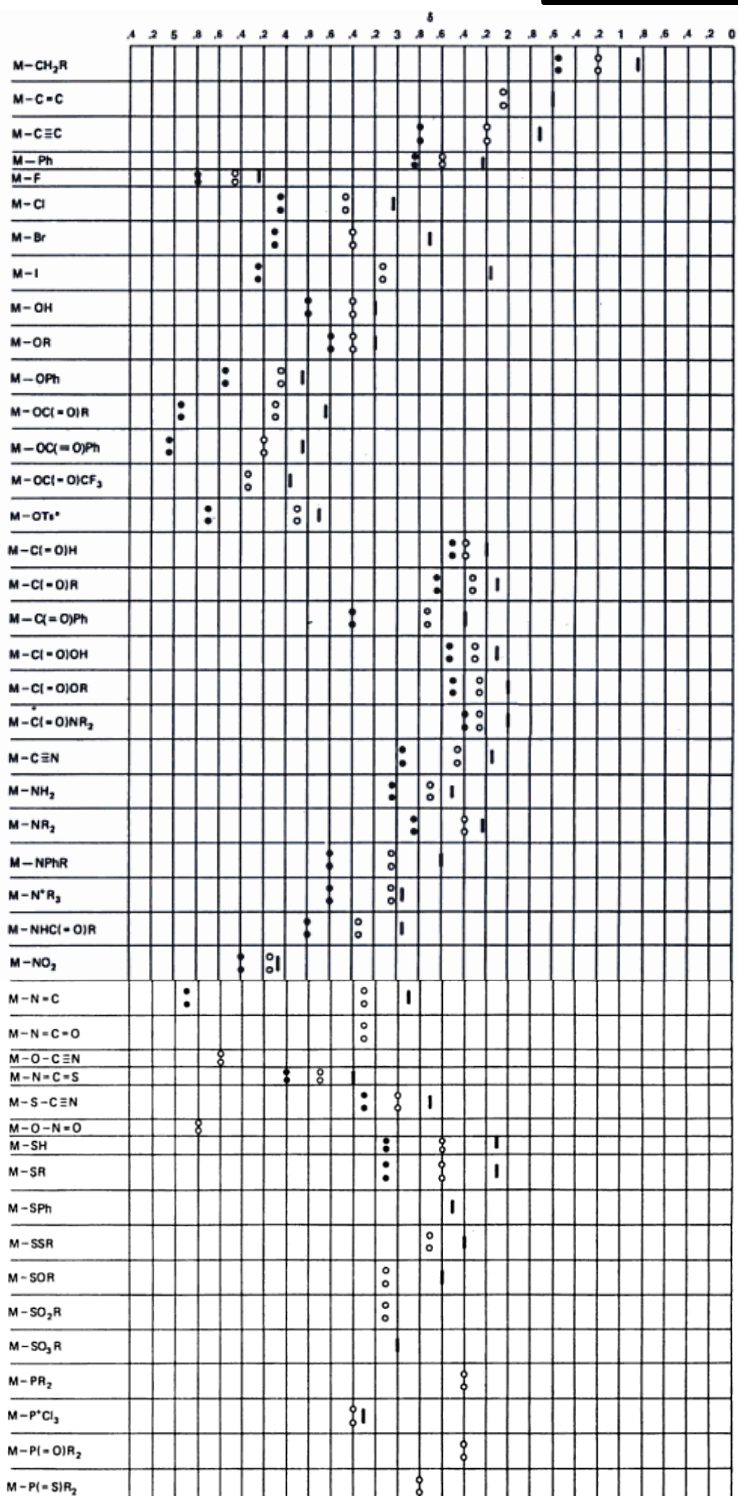
Echelles de déplacement chimique en RMN ^1H



Déplacements chimiques de CH, CH₂ et CH₃ diversement substitués

CH ₃		CH ₂		CH	
proton	δ	Proton	δ	proton	δ
CH ₃ - C	0,9	- C - CH ₂ - C	1,3	- C - CH - C	1,5
CH ₃ - C - C=	1,1	- C - CH ₂ - C - C=C	1,7		
CH ₃ - C - O	1,4	- C - CH ₂ - C - O	1,9	- C - CH - C - O	2
CH ₃ - C=C	1,6	- C - CH ₂ - C=C	2,3		
CH ₃ - Ar	2,3	- C - CH ₂ - Ar	2,7	- C - CH - Ar	3
CH ₃ - CO - R	2,2	- C - CH ₂ - CO - R	2,4	- C - CH - CO - R	2,7
CH ₃ - CO - Ar	2,6				
CH ₃ - CO - OR	2,0	- C - CH ₂ - CO - OR	2,3		
CH ₃ - OR	3,3	- C - CH ₂ - OR	3,4	- C - CH - OR	3,7
CH ₃ - OH	3,4	- C - CH ₂ - OH	3,6	- C - CH - OH	3,9
CH ₃ - O - Ar	3,8	- C - CH ₂ - O - Ar	4,3		
CH ₃ - O - CO - R	3,7	- C - CH ₂ - O - CO - R	4,1	- C - CH - O - CO - R	4,8
CH ₃ - N -	2,3	- C - CH ₂ - N -	2,5	- C - CH - N -	2,8
CH ₃ - C - NO ₂	1,6	C - CH ₂ - NO ₂	4,4	C - CH - NO ₂	4,7
CH ₃ - C=C - CO	2,0	- C - CH ₂ - C=C - CO	2,4		
CH ₃ - Cl	3,0	- C - CH ₂ - Cl	3,4	- C - CH - Cl	4,0
CH ₃ - Br	2,7	- C - CH ₂ - Br	3,3	- C - CH - Br	3,6
CH ₃ - C - Br	1,7	- C - CH ₂ - C - Br	1,7	- C - CH - C - Br	1,7
CH ₃ - I	2,2	- C - CH ₂ - I	3,1	- C - CH - I	4,2
CH ₃ - C - I	1,9	- C - CH ₂ - C - I	1,8	- C - CH - C - I	1,9
CH ₃ - CN	2,0	- C - CH ₂ - CN	2,3	- C - CH - CN	2,7

$\blacksquare = \text{CH}_3$ $\circ = \text{CH}_2$ $\bullet = \text{CH}$



X - CH₂ - Y

$$\delta_{\text{ppm}} = 0.23 + \sigma_x + \sigma_y$$

Substituant (X ou Y)	σ	Substituant (X ou Y)	σ
-Cl	2.53	-CR=CR ₂ (R = H ou alkyle)	1.32
-Br	2.33	-C ₆ H ₅	1.85
-I	1.82	-C≡C-R (R = H ou alkyle)	1.44
-OH	2.56	-C(=O)R (R = alkyle)	1.70
-OR (Alkyle)	2.36	-C(=O)OR (R = alkyle)	1.55
-OAr (Aryle)	3.23	-C(=O)NR ₂ (R = H ou alkyle)	1.59
-O(C=O)R	3.13	-C≡N	1.70
-SR	1.64	-CF ₃	1.14
-NR ₂ (R = H ou alkyle)	1.57	-CH ₃	0.47
-NH(C=O)R	2.27	-N ₃	1.97

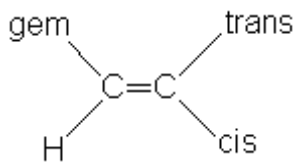


$$\delta_H = 1.50 + \sum z_i$$

R ⁱ	z	R ⁱ	z	R ⁱ	z
H—	-0.3	HC≡C—	0.9	MeO—	1.5
alkyl—	0.0	OHC—	1.2	PhO—	2.3
CH ₂ =CHCH ₂ —	0.2	MeCO—	1.2	AcO—	2.7
MeCOCH ₂ —	0.2	RO ₂ C—	0.8	Cl—	2.0
HOCH ₂ —	0.3	NC—	1.2	Br—	1.9
ClCH ₂ —	0.5	H ₂ N—	1.0	I—	1.4
CH ₂ =CH—	0.8	O ₂ N—	3.0	MeS—	1.0
Ph—	1.3	HO—	1.7	Me ₃ Si—	-0.7

Table de déplacement chimique d'un proton éthylénique en fonction des substituants porté par la double liaison

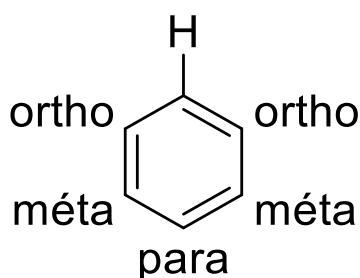
$$\delta_{\text{ppm}} = 5,25 + Z_{\text{gem}} + Z_{\text{cis}} + Z_{\text{trans}}$$



	R	z_{gem}	z_{cis}	z_{trans}
C	H—	0	0	0
	alkyl—	0.45	-0.22	-0.28
	ring-alkyl—	0.69	-0.25	-0.28
	CO—CH ₂ — or NC—CH ₂ —	0.69	-0.08	-0.06
	Ar—CH ₂ —	1.05	-0.29	-0.32
	N—CH ₂ —	0.58	-0.10	-0.08
	O—CH ₂ —	0.64	-0.10	-0.02
	Hal—CH ₂ —	0.70	0.11	-0.04
	S—CH ₂ —	0.71	-0.13	-0.22
	isolated C=C—	1.00	-0.09	-0.23
	conjugated C=C—	1.24	0.02	-0.05
	Ar—	1.38	0.36	-0.07
	OHC—	1.02	0.95	1.17
	isolated RCO—	1.10	1.12	0.87
	conjugated RCO—	1.06	0.91	0.74
	isolated HO ₂ C—	0.97	1.41	0.71
	conjugated HO ₂ C—	0.80	0.98	0.32
	isolated RO ₂ C—	0.80	1.18	0.55
	conjugated RO ₂ C—	0.78	1.01	0.46
N	N—CO—	1.37	0.98	0.46
	Cl—CO—	1.11	1.46	1.01
	—C≡C—	0.47	0.38	0.12
	N≡C—	0.27	0.75	0.55
	alkyl-N—	0.80	-1.26	-1.21
O	conjugated alkyl or aryl-N—	1.17	-0.53	-0.99
	—CO—N—	2.08	-0.57	-0.72
	O ₂ N—	1.87	1.30	0.62
	alkyl-O—	1.22	-1.07	-1.21
Hal	conjugated alkyl or aryl-O—	1.21	-0.60	-1.00
	—CO—O—	2.11	-0.35	-0.64
	F—	1.54	-0.40	-1.02
	Cl—	1.08	0.18	0.13
Other	Br—	1.07	0.45	0.55
	I—	1.14	0.81	0.88
	R ₃ Si—	0.90	0.90	0.60
	RS—	1.11	-0.29	-0.13
	RSO—	1.27	0.67	0.41
	RSO ₂ —	1.55	1.16	0.93

Use the 'conjugated' values when either the substituent or the double bond is further conjugated. Use the 'ring-alkyl' values when the double bond and the alkyl group are part of a five- or six-membered ring.

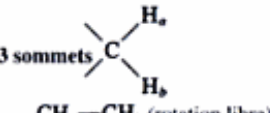
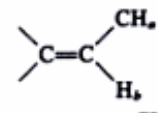
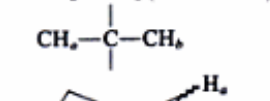
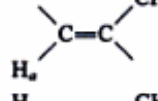
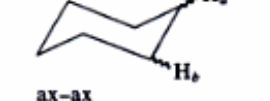
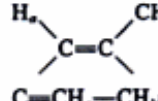
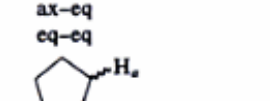
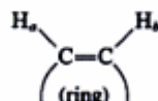
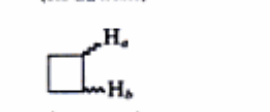
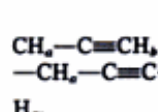
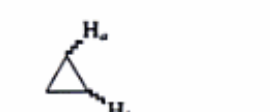
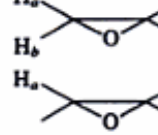
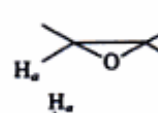
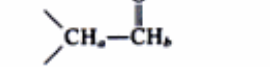
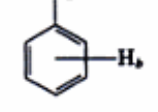
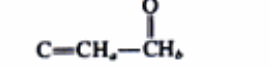
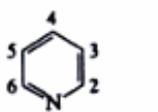
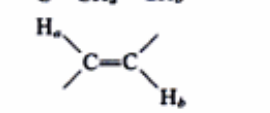
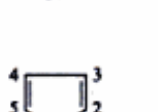
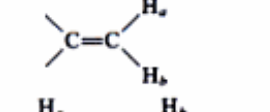
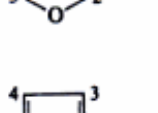
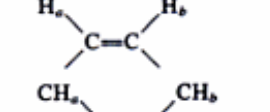
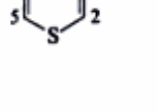
Table de déplacement chimique d'un proton aromatique en fonction des substituants porté par le cycle

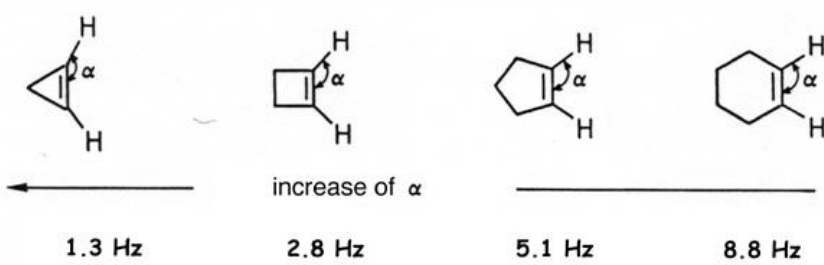


$$\delta = 7,26 + Z_{\text{ortho}} + Z_{\text{méta}} + Z_{\text{para}}$$

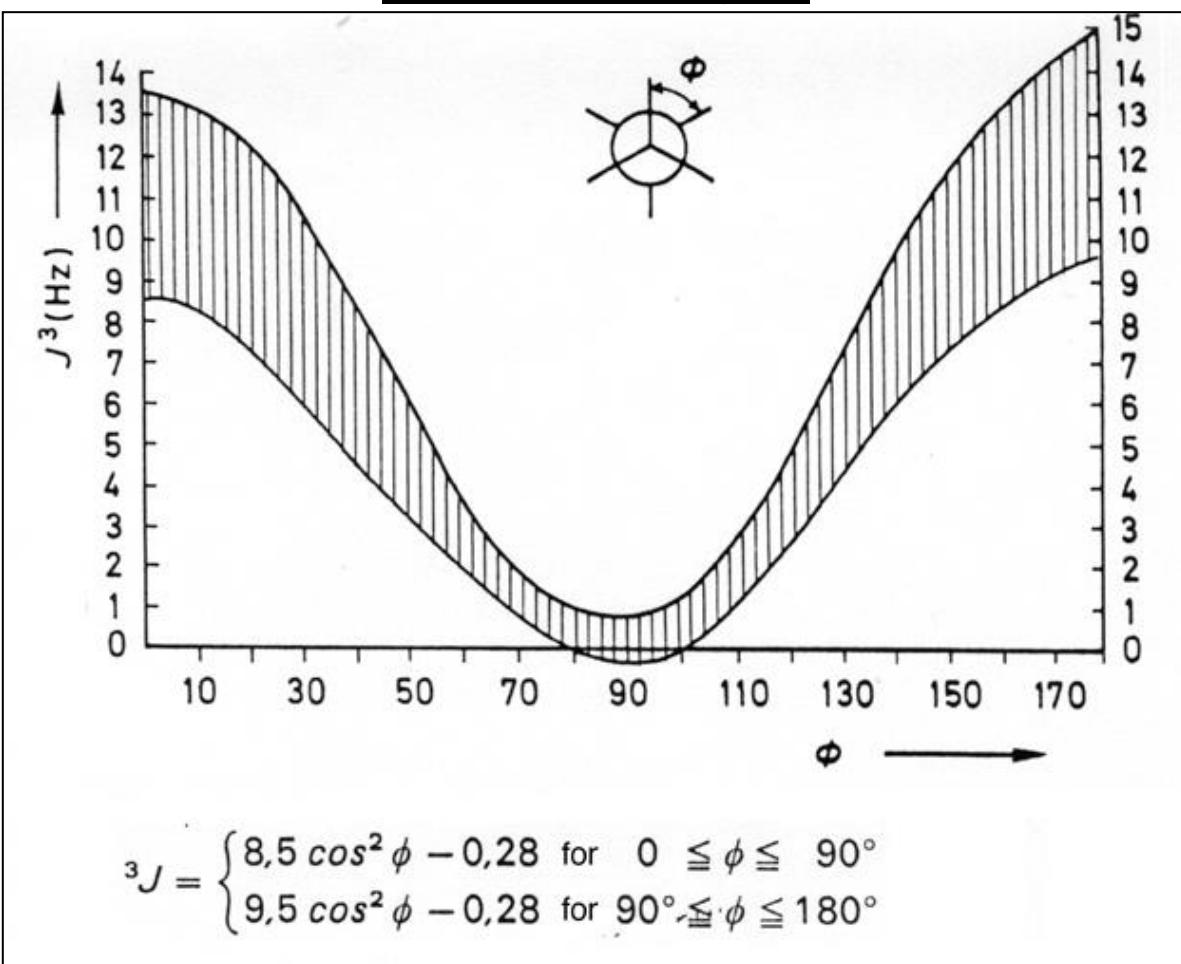
	R	Z_{ortho}	Z_{meta}	Z_{para}
C	H—	0	0	0
	Me—	-0.20	-0.12	-0.22
	Et—	-0.14	-0.06	-0.17
	Pr ⁱ —	-0.13	-0.08	-0.18
	Bu ^t —	0.02	-0.08	-0.21
	H ₂ NCH ₂ — or HOCH ₂ —	-0.07	-0.07	-0.07
	ClCH ₂ —	0.00	0.00	0.00
	F ₃ C—	0.32	0.14	0.20
	Cl ₃ C—	0.64	0.13	0.10
	CH ₂ =CH—	0.06	-0.03	-0.10
N	Ph—	0.37	0.20	0.10
	OHC—	0.56	0.22	0.29
	MeCO—	0.62	0.14	0.21
	H ₂ NCO—	0.61	0.10	0.17
	HO ₂ C—	0.85	0.18	0.27
	MeO ₂ C—	0.71	0.1	0.21
	ClCO—	0.84	0.22	0.36
	HC≡C—	0.15	-0.02	-0.01
	N≡C—	0.36	0.18	0.28
	H ₂ N—	-0.75	-0.25	-0.65
O	Me ₂ N—	-0.66	-0.18	-0.67
	AcNH—	0.12	-0.07	-0.28
	O ₂ N—	0.95	0.26	0.38
Hal	HO—	-0.56	-0.12	-0.45
	MeO—	-0.48	-0.09	-0.44
	AcO—	-0.25	0.03	-0.13
Other	F—	-0.26	0.00	-0.04
	Cl—	0.03	-0.02	-0.09
	Br—	0.18	-0.08	-0.04
	I—	0.39	-0.21	0.00
	Me ₃ Si—	0.22	-0.02	-0.02
	(MeO) ₂ P(=O)—	0.48	0.16	0.24
	MeS—	0.37	0.20	0.10

Constantes de couplage ^1H - ^1H les plus fréquemment rencontrées

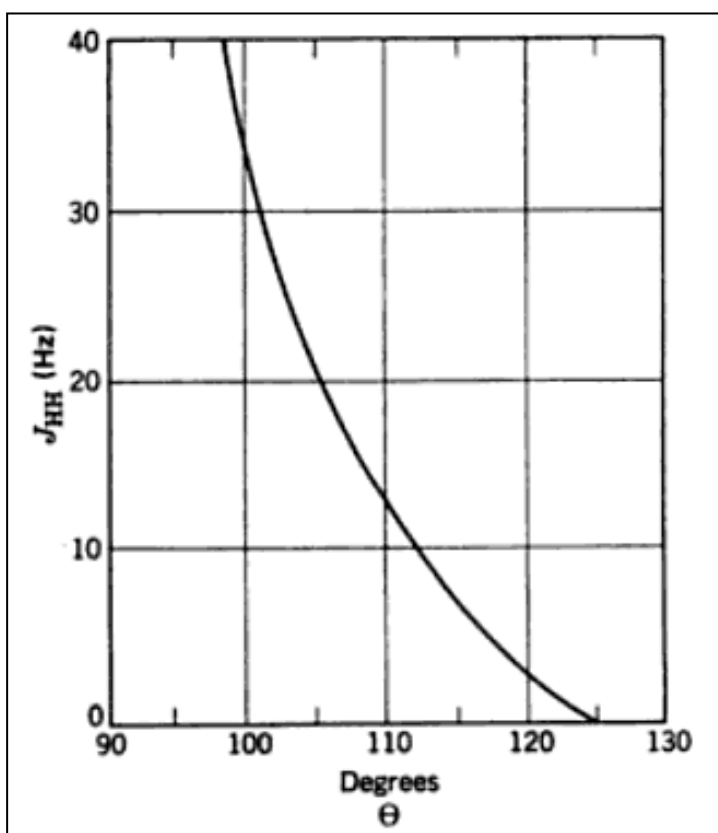
Type	J_{ab} (Hz)	J_{ab} typique	Type	J_{ab} (Hz)	J_{ab} typique
 3 sommets CH_a-CH_b (rotation libre)	0-30	12-15		4-10	7
 $\text{CH}_a-\text{C}-\text{CH}_b$	6-8	7		0-3	1,5
 ax-ax ax-eq eq-eq	0-1	0		0-3	2
 (cis ou trans)	cis 5-10 trans 5-10			9-13 4 sommets 5 sommets 6 sommets sommets 8 sommets	10 0,5-2,0 2,5-4,0 7,5-17,0 8,8-11,0 9-13 10-13
 (cis ou trans)	cis 4-12 trans 2-10			2-3 2-3	
 (cis ou trans)	cis 7-13 trans 4-9			6	
CH_a-OH_b (pas d'échange)	4-10	5		4	
	1-3	2-3		J (ortho) J (meta) J (para)	6-10 1-3 0-1
	5-8	6		J (2-3) J (3-4) J (2-4) J (3-5) J (2-5) J (2-6)	5-6 7-9 1-2 1-2 0-1 0-1
	12-18	17		J (2-3) J (3-4) J (2-4) J (2-5)	1,3-2,0 3,1-3,8 0-1 1-2
	0-3	0-2		J (2-3) J (3-4) J (2-4) J (2-5)	1,8 3,6 ~0 1,5
	6-12	10		J (2-3) J (3-4) J (2-4) J (2-5)	5,4 4,0 1,5 3,4
	0-3	1-2			



Courbes de Karplus



Pour les protons vicinaux ($H-C-C-H$)



Pour les protons géminés ($H-C-H$)

Constantes de couplage ^1H - ^{19}F et ^1H - ^{31}P

Table 3.30 ^1H - ^{19}F coupling constants (Hz)

Structure	J	Structure	J
$^2J_{\text{HF}}$	45–52		<i>ortho</i> 6–11 <i>meta</i> 3–9 <i>para</i> 0–4
	60–65		
	72–90		
$^3J_{\text{HF}}$	20–24		<i>ortho</i> 2.5 <i>meta</i> 1.5 <i>para</i> 0
	0–45†		
$^3J_{\text{HF}}$	3–20		
$^4J_{\text{HF}}$	12–53		
	0–9‡		
	2–4		
	0–6		

† 0–12 when gauche and 10–45 when anti-periplanar.

‡ The higher end of the range (≥ 3.5) when the atoms are held in a W conformation.

Table 3.31 ^{31}P - ^1H coupling constants (Hz)†

Type of coupling	Class of compound	Phosphines	Phosphonium salts	Phosphine oxides
$^1J_{\text{PH}}$	(150) 185–220 (250)	400–900	200–750	
$^2J_{\text{PH}}$	(–5) 0–15 (27)	(0) 10–18	5–25	
	46‡	30‡	40‡	
$^3J_{\text{PCCH}}$	(10) 13–17 (20)	(0) 10–20 (57)	14–30	
$^3J_{\text{PC=CH}}$	<i>trans</i> (5) 12–41 <i>cis</i> § 6–20	<i>trans</i> 28–50 (80) <i>cis</i> § 10–20 (35)		
		Phosphites	Phosphates	
$^3J_{\text{POCH}}$		(0) 5–14 (20)	(0) 5–20 (30)	
	All compounds			
$^4J_{\text{PH}}$	0–3 (5)¶			

† The coupling constants are often strongly dependent upon the groups attached to phosphorus, and therefore values outside the quoted ranges may occasionally be observed; values in parentheses are 'extreme' values so far reported.



‡ Values observed in P—C—H systems.

§ *Trans* coupling is usually about twice that of *cis* coupling.

¶ In the system P—C=C=CH.

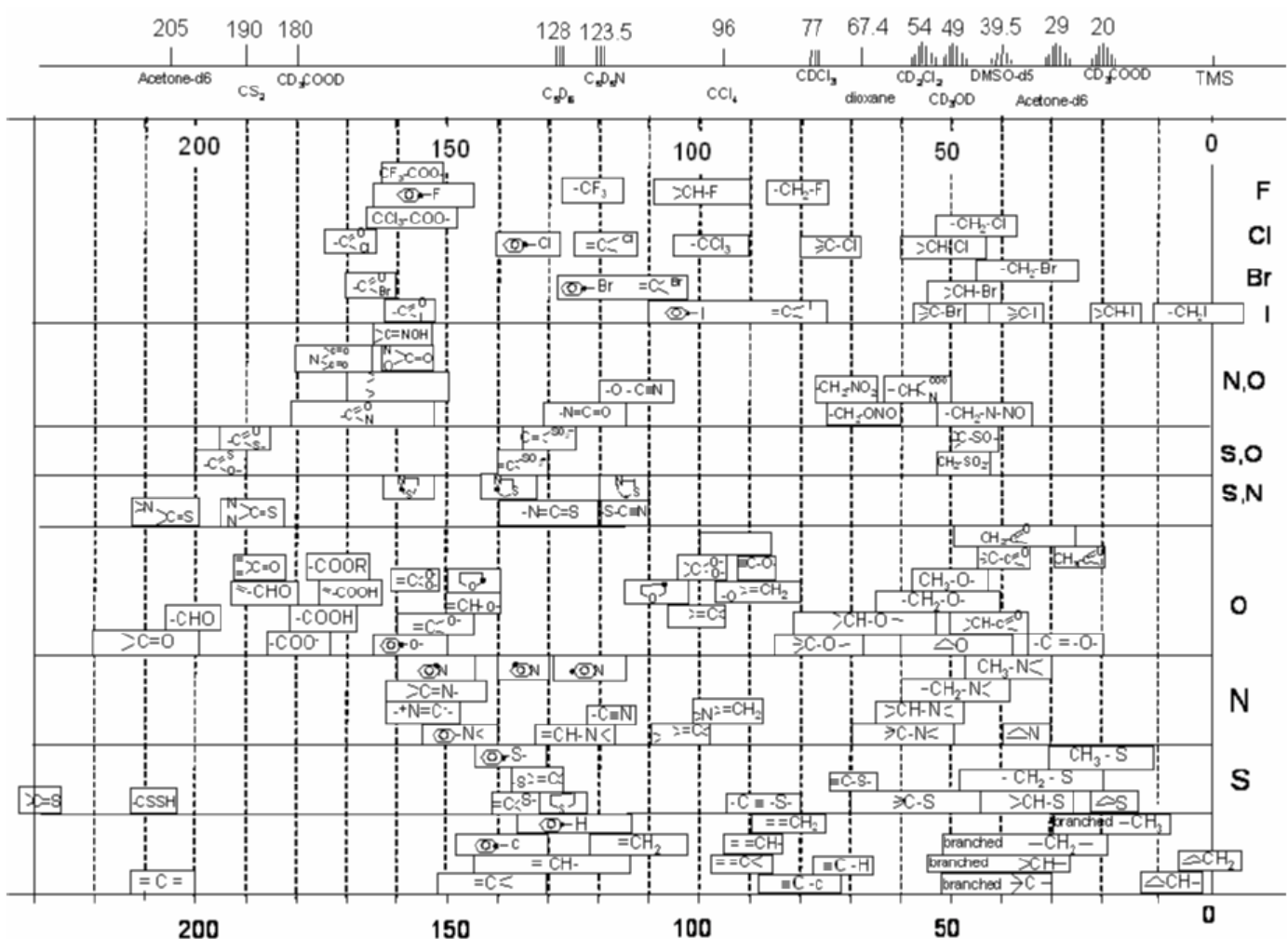
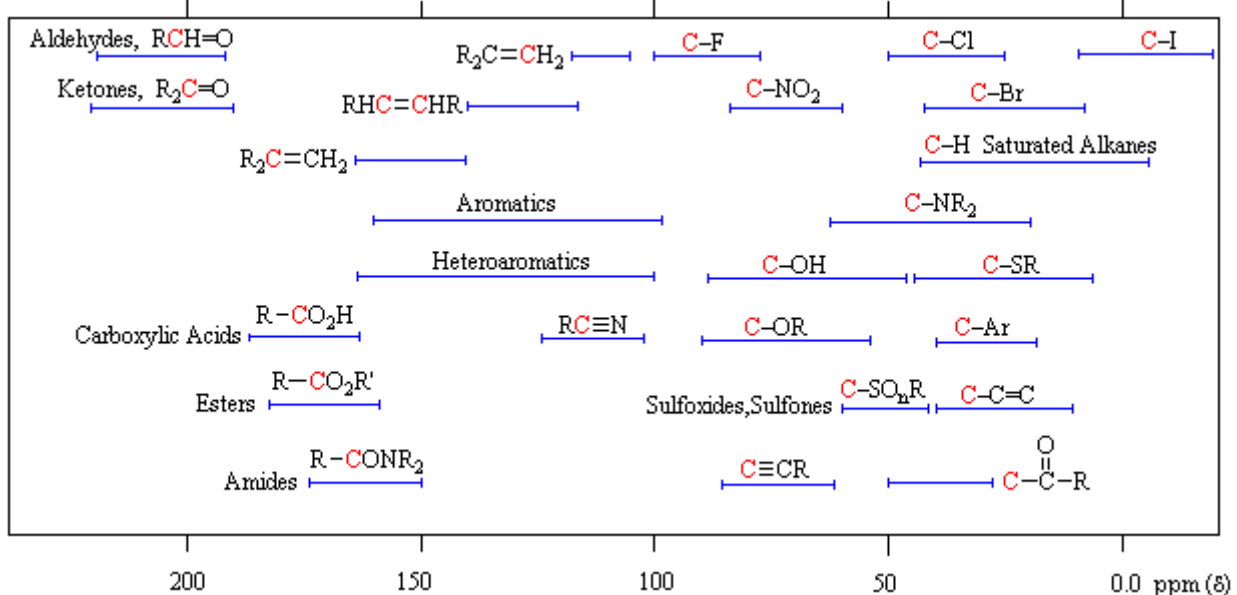
Proton-Phosphore	
	630–707
$(\text{CH}_3)_3\text{P}$	2,7
$(\text{CH}_3)_3\text{P}=\text{O}$	13,4
$(\text{CH}_3\text{CH}_2)_3\text{P}$	13,7 (HCCP)
$(\text{CH}_3\text{CH}_2)_3\text{P}=\text{O}$	0,5 (HCP) 16,3 (HCCP) 11,9 (HCP)
	10–13
	15–20
$\text{CH}_3\text{OP}(\text{OR})_2$	10,5–12
$\text{P}[\text{N}(\text{CH}_3)_2]_3$	8,8
$\text{O}=\text{P}[\text{N}(\text{CH}_3)_2]_3$	9,5

NMR Chemical Shifts of Common Laboratory Solvents as Trace Impurities (RMN ^1H)

Table 1. ^1H NMR Data

	proton	mult	CDCl_3	$(\text{CD}_3)_2\text{CO}$	$(\text{CD}_3)_2\text{SO}$	C_6D_6	CD_3CN	CD_3OD
solvent residual peak			7.26	2.05	2.50	7.16	1.94	3.31
H_2O	s		1.56	2.84 ^a	3.33 ^a	0.40	2.13	4.87
acetic acid	CH_3	s	2.10	1.96	1.91	1.55	1.96	1.99
acetone	CH_3	s	2.17	2.09	2.08	1.55	2.08	2.15
acetonitrile	CH_3	s	2.10	2.05	2.07	1.55	1.96	2.03
benzene	CH	s	7.36	7.36	7.37	7.15	7.37	7.33
<i>tert</i> -butyl alcohol	CH_3	s	1.28	1.18	1.11	1.05	1.16	1.40
	OH°	s			4.19	1.55	2.18	
<i>tert</i> -butyl methyl ether	CCH_3	s	1.19	1.13	1.11	1.07	1.14	1.15
	OCH_3	s	3.22	3.13	3.08	3.04	3.13	3.20
BHT ^b	ArH	s	6.98	6.96	6.87	7.05	6.97	6.92
	OH°	s	5.01		6.65	4.79	5.20	
	ArCH_3	s	2.27	2.22	2.18	2.24	2.22	2.21
	$\text{ArC(CH}_3)_3$	s	1.43	1.41	1.36	1.38	1.39	1.40
chloroform	CH	s	7.26	8.02	8.32	6.15	7.58	7.90
cyclohexane	CH_2	s	1.43	1.43	1.40	1.40	1.44	1.45
1,2-dichloroethane	CH_2	s	3.73	3.87	3.90	2.90	3.81	3.78
dichloromethane	CH_2	s	5.30	5.63	5.76	4.27	5.44	5.49
diethyl ether	CH_3	t, 7	1.21	1.11	1.09	1.11	1.12	1.18
	CH_2	q, 7	3.48	3.41	3.38	3.26	3.42	3.49
diglyme	CH_2	m	3.65	3.56	3.51	3.46	3.53	3.61
	CH_2	m	3.57	3.47	3.38	3.34	3.45	3.58
	OCH_3	s	3.39	3.28	3.24	3.11	3.29	3.35
1,2-dimethoxyethane	CH_3	s	3.40	3.28	3.24	3.12	3.28	3.35
	CH_2	s	3.55	3.46	3.43	3.33	3.45	3.52
dimethylacetamide	CH_3CO	s	2.09	1.97	1.96	1.60	1.97	2.07
	NCH_3	s	3.02	3.00	2.94	2.57	2.96	3.31
	NCH_3	s	2.94	2.83	2.78	2.05	2.83	2.92
dimethylformamide	CH	s	8.02	7.96	7.95	7.63	7.92	7.97
	CH_3	s	2.96	2.94	2.89	2.36	2.89	2.99
	CH_3	s	2.88	2.78	2.73	1.86	2.77	2.86
dimethyl sulfoxide	CH_3	s	2.62	2.52	2.54	1.68	2.50	2.65
dioxane	CH_2	s	3.71	3.59	3.57	3.35	3.60	3.66
ethanol	CH_3	t, 7	1.25	1.12	1.06	0.96	1.12	1.19
	CH_2	q, 7 ^d	3.72	3.57	3.44	3.34	3.54	3.60
	OH	s ^{e,d}	1.32	3.39	4.63		2.47	
ethyl acetate	CH_3CO	s	2.05	1.97	1.99	1.65	1.97	2.01
	CH_2CH_3	q, 7	4.12	4.05	4.03	3.89	4.06	4.09
	CH_2CH_3	t, 7	1.26	1.20	1.17	0.92	1.20	1.24
ethyl methyl ketone	CH_3CO	s	2.14	2.07	2.07	1.58	2.06	2.12
	CH_2CH_3	q, 7	2.46	2.45	2.43	1.81	2.43	2.50
	CH_2CH_3	t, 7	1.06	0.96	0.91	0.85	0.96	1.01
ethylene glycol	CH	s ^e	3.76	3.28	3.34	3.41	3.51	3.59
"grease" ^f	CH_3	m	0.86	0.87		0.92	0.86	0.88
	CH_2	br s	1.26	1.29		1.36	1.27	1.29
n-hexane	CH_3	t	0.88	0.88	0.86	0.89	0.89	0.90
	CH_2	m	1.26	1.28	1.25	1.24	1.28	1.29
HMPA ^g	CH_3	d, 9.5	2.65	2.59	2.53	2.40	2.57	2.64
methanol	CH_3	s ^h	3.49	3.31	3.16	3.07	3.28	3.34
	OH	s ^{e,h}	1.09	3.12	4.01		2.16	
nitromethane	CH_3	s	4.33	4.43	4.42	2.94	4.31	4.34
n-pentane	CH_3	t, 7	0.88	0.88	0.86	0.87	0.89	0.90
	CH_2	m	1.27	1.27	1.27	1.23	1.29	1.29
2-propanol	CH_3	d, 6	1.22	1.10	1.04	0.95	1.09	1.50
	CH	sep, 6	4.04	3.90	3.78	3.67	3.87	3.92
pyridine	CH(2)	m	8.62	8.58	8.58	8.53	8.57	8.53
	CH(3)	m	7.29	7.35	7.39	6.66	7.33	7.44
	CH(4)	m	7.68	7.76	7.79	6.98	7.73	7.85
silicone grease ⁱ	CH_3	s	0.07	0.13		0.29	0.08	0.10
tetrahydrofuran	CH_2	m	1.85	1.79	1.76	1.40	1.80	1.87
	CH_2O	m	3.76	3.63	3.60	3.57	3.64	3.71
toluene	CH_3	s	2.36	2.32	2.30	2.11	2.33	2.32
	CH(o/p)	m	7.17	7.1–7.2	7.18	7.02	7.1–7.3	7.16
	CH(m)	m	7.25	7.1–7.2	7.25	7.13	7.1–7.3	7.16
triethylamine	CH_3	t, 7	1.03	0.96	0.93	0.96	0.96	1.05
	CH_2	q, 7	2.53	2.45	2.43	2.40	2.45	2.58

Echelles de déplacement chimique en RMN ^{13}C



RMN ^{13}C : Alcanes

Tableau 1

Composé	C-1	C-2	C-3	C-4	C-5
Méthane	-2,3				
Éthane	5,7				
Propane	15,8	16,3	15,8		
Butane	13,4	25,2	25,2		
Pentane	13,9	22,8	34,7	22,8	13,9
Hexane	14,1	23,1	32,2	32,2	23,1
Heptane	14,1	23,2	32,6	29,7	32,6
Octane	14,2	23,2	32,6	29,9	29,9
Nonane	14,2	23,3	32,6	30,0	30,3
Décane	14,2	23,2	32,6	31,1	30,5
Isobutane	24,5	25,4			
Isopentane	22,2	31,1	32,0	11,7	
Isohexane	22,7	28,0	42,0	20,9	14,3
Néopentane	31,7	28,1			
2,2-Diméthylbutane	29,1	30,6	36,9	8,9	
3-Méthylpentane	11,5	29,5	36,9	(18,8; 3-CH ₃)	
2,3-Diméthylbutane	19,5	34,3			
2,2,3-Triméthylbutane	27,4	33,1	38,3	16,1	
2,3-Diméthylpentane	7,0	25,3	36,3	(14,6; 3-CH ₃)	

Tableau 2
(Incrémenter les δ du tableau 1)

Y	Terminal		Interne		γ	
	α		β			
	Terminal	Interne	Terminal	Interne		
CH ₃	+9	+6	+10	+8	-2	
CH=CH ₂	+20		+6		-0,5	
C≡CH	+4,5		+5,5		-3,5	
COOH	+21	+16	+3	+2	-2	
COO ⁻	+25	+20	+5	+3	-2	
COOR	+20	+17	+3	+2	-2	
COCl	+33	+28				
CONH ₂	+22		+2,5		-0,5	
COR	+30	+24	+1	+1	-2	
CHO	+31		0		-2	
Phényle	+23	+17	+9	+7	-2	
OH	+48	+41	+10	+8	-5	
OR	+58	+51	+8	+5	-4	
OCOR	+51	+45	+6	+5	-3	
NH ₂	+29	+24	+11	+10	-5	
NH ₃ ⁺	+26	+24	+8	+6	-5	
NHR	+37	+31	+8	+6	-4	
NR ₂	+42		+6		-3	
NR ₃ ⁺	+31		+5		-7	
NO ₂	+63	+57	+4	+4		
CN	+4	+1	+3	+3	-3	
SH	+11	+11	+12	+11	-4	
SR	+20		+7		-3	
F	+68	+63	+9	+6	-4	
Cl	+31	+32	+11	+10	-4	
Br	+20	+25	+11	+10	-3	
I	-6	+4	+11	+12	-1	

$$^*C - C_{\alpha} - C_{\beta} - C_{\gamma} \quad \delta = -2,3 + A + B$$

-2,3 : déplacement chimique du ^{13}C du méthane

A : terme de blindage B : terme de correction stérique ou de ramifications

Tableau 1 : Incréments nécessaires au calcul de A

Substituent	Incréments			Substituent	Incréments		
	α	β	γ		α	β	γ
$-\text{C.sp}^3$	9,1	9,4	-2,5	$-\text{N}^<$	28,3	11,3	-5,1
$-\text{C}\equiv\text{C}-$	4,4	5,6	-3,4	$-\text{N}^+ \text{---} \text{N}^-$	30,7	5,4	-7,2
$-\text{C}=\text{C}-$	19,5	6,9	-2,1	$-\text{NO}_2$	61,6	3,1	-4,6
$-\text{C}_6\text{H}_5$	22,1	9,3	-2,6	$-\text{S}-$	10,6	11,4	-3,6
$-\text{Cl}$	31,0	10,0	-5,1	$-\text{CHO}$	29,9	-0,6	-2,7
$-\text{F}$	70,1	7,8	-6,8	$-\text{CO---}$	22,5	3,0	-3,0
$-\text{Br}$	18,9	11,0	-3,8	$-\text{COOH}$	20,1	2,0	-2,8
$-\text{I}$	-7,2	10,9	-1,5	$-\text{COO}^-$	24,5	3,5	-2,5
$-\text{O}^-$	21,4	2,8	-2,5	$-\text{COO---}$	22,6	2,0	-2,8
$-\text{O---}$	49,0	10,1	-6,2	$-\text{CON}^<$	22,0	2,6	-3,2
$-\text{O---CO---}$	56,5	6,5	-6,0	$-\text{CN}$	3,1	2,4	-3,3

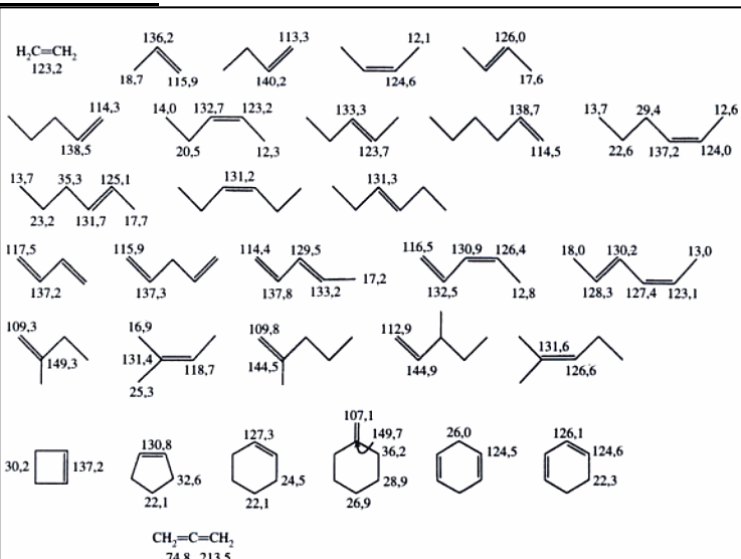
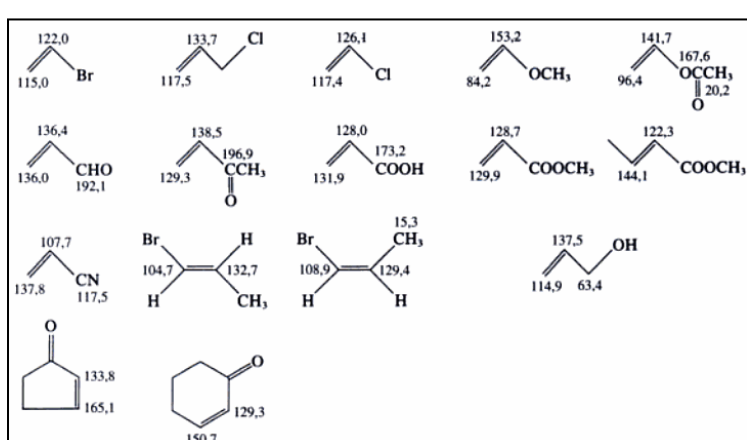
Tableau 2 : Incréments nécessaires au calcul de B

^{13}C atom observed	The number of substituents (other than H) on the α -substituents.			
	1	2	3	4
primary	-1,1	-3,4
secondary	-2,5	-7,2
tertiary	...	-3,7	-9,5	-15,0
quaternary	-1,5	-8,4	-15,0	-25,0
Carbon equivalent	Functional group			
primary	$-\text{CO}_2\text{H}, -\text{CO}_2\text{R}, -\text{NO}_2$			
secondary	$-\text{C}_6\text{H}_5, -\text{CHO}, -\text{CONH}_2, -\text{CH}_2\text{X}^*$			
tertiary	$-\text{COR}$			

Remarques : pour les amines et les éthers, pour déterminer B, considérer les hétéroatomes comme des carbones.

Pour les esters et les amides, pour le calcul de A, le radical R ($^*C\text{-CO-X-R}$, X = N ou O) doit être considéré comme un substituant.

RMN ^{13}C : Alcènes

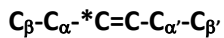


$$\delta = 122,8 + A + B$$

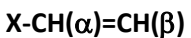
122,8 : déplacement chimique des ^{13}C de l'éthène

Incréments A pour les alcènes de structure

Incréments A et B pour les alcènes alkylés de structure



Position of substitution	Increments A	Type of disubstitution	Increments B
α	10.6	α, α' cis	-1.1
β	7.2	α, α gem	-4.8
γ	-1.5	α', α' gem	+2.5
α'	-7.9	β, β gem	-2.3
β'	-1.8		
γ'	+1.5		



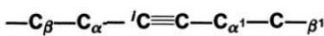
Substituent X	Increments α	Increments β	x	Substituent	Increments α	Increments β
-Cl	3.3	-5.6	-	$-\text{CH}_2\text{Y}^*$	12	-5
-NCOR ₂	7.2	-28.5	-	$-\text{CH}_2\text{CO}_2\text{H}$	6.9	-4.6
-NO ₂	22.8	-0.4	-	$-\text{CH}_2\text{CN}$	5.9	-2.1
-N≡	18.9	-26.2	-	$-\text{C}_6\text{H}_5$	13.0	-10.5
-OCH ₃	31.0	-38.2	-	$-\text{C}\equiv\text{N}$	-15.6	15.1
-OCOCH ₃	18.9	-26.4	-	$-\text{CO}_2\text{R}$	6.0	8.0
-CH ₃	13.4	-6.9	-	$-\text{COCH}_3$	14.9	6.7
-t-Bu	26.9	-13.0	-	$-\text{CHO}$	15.8	14.8
			-	$-\text{CON}_<$	9.6	3.1

RMN ^{13}C : Halogénures d'alkyle

RMN ^{13}C : Alcynes

Composé	C-1	C-2	C-3	C-4	C-5	C-6
But-1-yne	67,0	84,7				
But-2-yne		73,6				
Hex-1-yne	67,4	82,8	17,4	29,9	21,2	12,9
Hex-2-yne	1,7	73,7	76,9	19,6	21,6	12,1
Hex-3-yne	14,4	12,0	79,9			

$$\delta = 79,1 + A$$



Substituents	α	Increments α'	β	β'
$-\text{C}.sp^3$	6.9	-5.7	4.8	2.3
$-\text{CH}_2\text{OH}$	11.1	1.9		
$-\text{COCH}_3$	31.4	4.0		
$-\text{C}_6\text{H}_5$	12.7	6.4		
$-\text{CH}=\text{CH}_2$	10.0	11.0		

Composé	C-1	C-2	C-3
CH_4	-2,3		
CH_3F	75,4		
CH_3Cl	24,9		
CH_2Cl_2	54,0		
CHCl_3	77,5		
CCl_4	96,5		
CH_3Br	10,0		
CH_2Br_2	21,4		
CHBr_3	12,1		
CBr_4	-28,5		
CH_3I	-20,7		
CH_2I_2	-54,0		
CHI_3	-139,9		
CI_4	-292,5		
$\text{CH}_3\text{CH}_2\text{F}$	79,3	14,6	
$\text{CH}_3\text{CH}_2\text{Cl}$	39,9	18,7	
$\text{CH}_3\text{CH}_2\text{Br}$	28,3	20,3	
$\text{CH}_3\text{CH}_2\text{I}$	-0,2	21,6	
$\text{CH}_3\text{CH}_2\text{CH}_2\text{Cl}$	46,7	26,5	11,5
$\text{CH}_3\text{CH}_2\text{CH}_2\text{Br}$	35,7	26,8	13,2
$\text{CH}_3\text{CH}_2\text{CH}_2\text{I}$	10,0	27,6	16,2

RMN ^{13}C : Hétéroaromatiques

Composé	C-2	C-3	C-4	C-5	C-6	Substituant
Furane	142,7	109,6				
2-Méthylfurane	152,2	106,2	110,9	141,2		13,4
2-Carboxaldéhydfurane	153,3	121,7	112,9	148,5		178,2
2-Méthylfuroate	144,8	117,9	111,9	146,4		159,1 (C=O) 51,8 (CH ₃)
Pyrrole	118,4	108,0				
2-Méthylpyrrole	127,2	105,9	108,1	116,7		12,4
2-Carboxaldéhydpyrrole	134,0	123,0	112,0	129,0		178,9
Thiophène	124,4	126,2				
2-Méthylthiophène	139,0	124,7	126,4	122,6		14,8
2-Carboxaldéhydthiophène	143,3	136,4	128,1	134,6		182,8
Thiazole	152,2		142,4	118,5		
Imidazole	136,2		122,3	122,3		
Pyridine	150,2	123,9	135,9			
Pyrimidine	159,5		157,4	122,1	157,4	
Pyrazine	145,6					
2-Méthylpyrazine	154,0	141,8 ^a	143,8 ^a	144,7 ^a		21,6

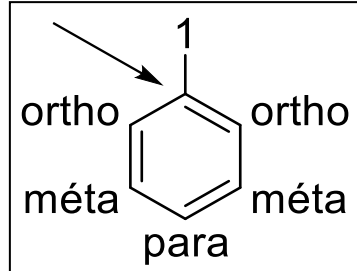
^a Attributions incertaines

RMN ^{13}C : Amines

Composé	C-1	C-2	C-3	C-4
CH ₃ NH ₂	26,9			
CH ₃ CH ₂ NH ₂	35,9	17,7		
CH ₃ CH ₂ CH ₂ NH ₂	44,9	27,3	11,2	
CH ₃ CH ₂ CH ₂ CH ₂ NH ₂	42,3	36,7	20,4	14,0
(CH ₃) ₃ N	47,5			
CH ₃ CH ₂ N(CH ₃) ₂	58,2	13,8		
Cyclohexylamine	50,4	36,7	25,7	25,1
<i>N</i> -Méthylcyclohexylamine	58,6	33,3	25,1	26,3 (N-CH ₃ 33,5)

RMN ^{13}C : Aromatiques

R _i	$\delta = 128,5 + \Sigma \Delta S_i$			
	C-1	ortho	meta	para
H	0	0	0	0
CH ₃	+ 9,3	+ 0,8	0	- 2,9
CH ₂ -CH ₃	+15,6	- 0,4	0	- 2,6
CH(Me) ₂	+20,2	- 2,5	+0,1	- 2,4
C(Me) ₃	+22,4	- 3,1	-0,1	- 2,9
CF ₃	- 9,0	- 2,2	+0,3	+ 3,2
C ₆ H ₅	+13	- 1	+0,4	- 1
CH=CH ₂	+ 9,5	- 2,0	+0,2	- 0,5
C≡CH	- 6,1	+ 3,8	+0,4	- 0,2
CH ₂ OH	+12	- 1	0	- 1
COOH	+ 2,1	+ 1,5	0	+ 5,1
COO ⁻	+ 8	+ 1	0	+ 3
COOCH ₃	+ 2,1	+ 1,1	+0,1	+ 4,5
COCl	+ 5	+ 3	+1	+ 7
CHO	+ 8,6	+ 1,3	+0,6	+ 5,5
COCH ₃	+ 9,1	+ 0,1	0	+ 4,2
COCF ₃	- 5,6	+ 1,8	+0,7	+ 6,7
COC ₆ H ₅	+ 9,4	+ 1,7	-0,2	+ 3,6
CN	-15,4	+ 3,6	+0,6	+ 3,9
OH	+26,9	-12,7	+1,4	- 7,3
OCH ₃	+31,4	-14,4	+1,0	- 7,7
OCOCH ₃	+23	- 6	+1	- 2
OC ₆ H ₅	+29	- 9	+2	- 5
NH ₂	+18	-13,3	+0,9	- 9,8
N(Me) ₂	+23	-16	+1	-12
N(Ph) ₂	+19	- 4	+1	- 6
NHCOCH ₃	+11	-10	0	- 6
NO ₂	+20	- 4,8	+0,9	+ 5,8
NCO	+ 5,7	- 3,6	+1,2	- 2,8
F	+34,8	-12,9	+1,4	- 4,5
Cl	+ 6,2	+ 0,4	+1,3	- 1,9
Br	- 5,5	+ 3,4	+1,7	- 1,6
I	-32	+10	+3	+ 1



RMN ^{13}C : Aldéhydes et cétones

$$\boxed{\delta = 193 + A}$$

A = somme des incréments

Substituent	Incréments		
	A_α	A_β	A_γ^*
$-\text{C}.sp^3$	6.5	2.6	1.0
$-\text{C}_6\text{H}_5$	-1.2	0.0	...
$-\text{CH}=\text{CH}_2$	-0.8	0.0	...
-2-furanyl	-12.0

* When $\text{C}_\alpha\text{C}_\beta = \text{CH}=\text{CH}-$

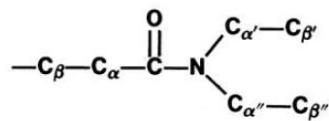
RMN ^{13}C : Acides carboxyliques et esters

$$\boxed{\delta = 166 + A}$$

Substituents	Incréments			
	α	β	γ	χ
$-\text{C}.sp^3$	11	3	-1	-5
$-\text{C}_6\text{H}_5$	6	1	...	-8
$-\text{CH}=\text{CH}_2$	5	-9

RMN ^{13}C : Amides

$$\boxed{\delta = 165 + A}$$



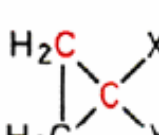
Substituents	α	β	γ	α'	β'
$-\text{C}.sp^3$	7.7	4.5	-0.7	-1.5	-0.3
$-\text{C}_6\text{H}_5$	4.7	-4.5	...
-vinyl	3.3

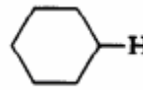
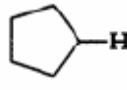
RMN ^{13}C : Nitriles



Substituent	δ value	Substituent	δ value	Substituent	δ value
-Me	117.7	$-\text{CH}_2\text{Cl}$	115.7	$-\text{p-C}_6\text{H}_4\text{NO}_2$	112.2
-Et	120.8	-vinyl	117.2	-2-furanyl	111.7
$i\text{-Pr}$	123.7	$-\text{C}_6\text{H}_5$	118.7	-cinnamyl	118.3

Constantes de couplage J_{CC} , J_{CH} , J_{CF} et J_{CX}

$^1J(C,C)$				
$H_3\overset{\text{C}}{ }-\overset{\text{C}}{ }H_3$	34.6	$\overset{\text{C}}{ }H_3$	$X = CH_3$	36.9
$H_2\overset{\text{C}}{ }=CH_2$	67.6	$CH_3-\overset{\text{C}}{ }X$	$= NH_2$	37.1
$HC \equiv \overset{\text{C}}{ }H$	171.5	$\overset{\text{C}}{ }H_3$	$= OH$	39.5
$C_6H_5-H_2\overset{\text{C}}{ }-CH_3$	34		$= Cl$	40.0
$C_6H_5-H\overset{\text{C}}{ }=CH_2$	70		$= Br$	40.2
$C_6H_5-\overset{\text{C}}{ }_O-CH_3$	43		$X \quad Y$	
$H_3\overset{\text{C}}{ }-C \equiv N$	57.3		$Br \quad H$	13.3
			$I \quad H$	12.9
			$Cl \quad Cl$	15.5

$^1J(C,H)$	
<i>sp³</i>	
CH_3CH_3	124.9
$CH_3CH_2CH_3$	119.2
$(CH_3)_2CH$	114.2
CH_3NH_2	133.0
CH_3OH	141.0
CH_3Cl	150.0
CH_2Cl_2	178.0
$CHCl_3$	209.0
	123.0
	128.0
	134.0
	161.0
	205.0
<i>sp²</i>	
$CH_2=CH_2$	-4.5
$(CH_3)_2\overset{\text{C}}{ }=O$	5.9
$CH_2=\overset{\text{C}}{ }CHCH=O$	26.7
<i>sp</i>	
$CH \equiv \overset{\text{C}}{ }H$	-2.4
$*C_6H_6$	5.5
$C_6H_5O\overset{\text{C}}{ }\equiv CH$	26.9
$C_6H_5\overset{\text{C}}{ }\equiv CH$	1.0
	$*^2J = 7.6 (>^2J)$

$^2J(C,H)$	
<i>sp³</i>	
CH_3CH_3	-4.5
CH_3CCl_3	5.9
$CH_3\overset{\text{C}}{ }=O$	26.7
<i>sp²</i>	
$CH_2=CH_2$	-2.4
$(CH_3)_2\overset{\text{C}}{ }=O$	5.5
$CH_2=\overset{\text{C}}{ }CHCH=O$	26.9
<i>sp</i>	
$CH \equiv \overset{\text{C}}{ }H$	1.0
$C_6H_5O\overset{\text{C}}{ }\equiv CH$	49.3
$C_6H_5\overset{\text{C}}{ }\equiv CH$	61.0

$*^2J = 7.6 (>^2J)$

$^1J_{CX}$
 $^1J_{CH} = 20 \text{ Hz}$
 $^1J_{CF} = -160 \text{ Hz}$
 $^1J_{CN} = 6-8 \text{ Hz}$
 $^1J_{p-H} > 600 \text{ Hz}$

$ J _{FC}$ values (Hz) $CH_3-CH_2-CH_2-CH_2-F$ 20 5 167	
---	---

NMR Chemical Shifts of Common Laboratory Solvents as Trace Impurities (RMN ^{13}C)

Table 2. ^{13}C NMR Data^a

		CDCl_3	$(\text{CD}_3)_2\text{CO}$	$(\text{CD}_3)_2\text{SO}$	C_6D_6	CD_3CN	CD_3OD
solvent signals		77.16 ± 0.06	29.84 ± 0.01	39.52 ± 0.06	128.06 ± 0.02	1.32 ± 0.02	49.00 ± 0.01
acetic acid			206.26 ± 0.13			118.26 ± 0.02	
	CO	175.99	172.31	171.93	175.82	173.21	175.11
acetone	CH ₃	20.81	20.51	20.95	20.37	20.73	20.56
	CO	207.07	205.87	206.31	204.43	207.43	209.67
acetonitrile	CH ₃	30.92	30.60	30.56	30.14	30.91	30.67
	CN	116.43	117.60	117.91	116.02	118.26	118.06
benzene	CH ₃	1.89	1.12	1.03	0.20	1.79	0.85
	CH	128.37	129.15	128.30	128.62	129.32	129.34
<i>tert</i> -butyl alcohol	C	69.15	68.13	66.88	68.19	68.74	69.40
	CH ₃	31.25	30.72	30.38	30.47	30.68	30.91
<i>tert</i> -butyl methyl ether	OCH ₃	49.45	49.35	48.70	49.19	49.52	49.66
	C	72.87	72.81	72.04	72.40	73.17	74.32
BHT	CCH ₃	26.99	27.24	26.79	27.09	27.28	27.22
	C(1)	151.55	152.51	151.47	152.05	152.42	152.85
	C(2)	135.87	138.19	139.12	136.08	138.13	139.09
	CH(3)	125.55	129.05	127.97	128.52	129.61	129.49
	C(4)	128.27	126.03	124.85	125.83	126.38	126.11
	CH ₂ Ar	21.20	21.31	20.97	21.40	21.23	21.38
	CH ₂ C	30.33	31.61	31.25	31.34	31.50	31.15
	C	34.25	35.00	34.33	34.35	35.05	35.36
chloroform	CH	77.36	79.19	79.16	77.79	79.17	79.44
cyclohexane	CH ₂	26.94	27.51	26.33	27.23	27.63	27.96
1,2-dichloroethane	CH ₂	43.50	45.25	45.02	43.59	45.54	45.11
dichloromethane	CH ₂	53.52	54.95	54.84	53.46	55.32	54.78
diethyl ether	CH ₃	15.20	15.78	15.12	15.46	15.63	15.46
	CH ₂	65.91	66.12	62.05	65.94	66.32	66.88
diglyme	CH ₃	59.01	58.77	57.98	58.66	58.90	59.06
	CH ₂	70.51	71.03	69.54	70.87	70.99	71.33
	CH ₂	71.90	72.63	71.25	72.35	72.63	72.92
	CH ₃	59.08	58.45	58.01	58.68	58.89	59.06
1,2-dimethoxyethane	CH ₂	71.84	72.47	17.07	72.21	72.47	72.72
	CH ₃	21.53	21.51	21.29	21.16	21.76	21.32
dimethylacetamide	CO	171.07	170.61	169.54	169.95	171.31	173.32
	NCH ₃	35.28	34.89	37.38	34.67	35.17	35.50
	NCH ₃	38.13	37.92	34.42	37.03	38.26	38.43
	CH	162.62	162.79	162.29	162.13	163.31	164.73
dimethylformamide	CH ₃	36.50	36.15	35.73	35.25	36.57	36.89
	CH ₃	31.45	31.03	30.73	30.72	31.32	31.61
dimethyl sulfoxide	CH ₃	40.76	41.23	40.45	40.03	41.31	40.45
dioxane	CH ₂	67.14	67.60	66.36	67.16	67.72	68.11
ethanol	CH ₃	18.41	18.89	18.51	18.72	18.80	18.40
	CH ₂	58.28	57.72	56.07	57.86	57.96	58.26
ethyl acetate	CH ₃ CO	21.04	20.83	20.68	20.56	21.16	20.88
	CO	171.36	170.96	170.31	170.44	171.68	172.89
	CH ₂	60.49	60.56	59.74	60.21	60.98	61.50
	CH ₃	14.19	14.50	14.40	14.19	14.54	14.49
ethyl methyl ketone	CH ₃ CO	29.49	29.30	29.26	28.56	29.60	29.39
	CO	209.56	208.30	208.72	206.55	209.88	212.16
	CH ₂ CH ₃	36.89	36.75	35.83	36.36	37.09	37.34
	CH ₂ CH ₂	7.86	8.03	7.61	7.91	8.14	8.09
ethylene glycol	CH ₂	63.79	64.26	62.76	64.34	64.22	64.30
	CH ₂	29.76	30.73	29.20	30.21	30.86	31.29
<i>n</i> -hexane	CH ₃	14.14	14.34	13.88	14.32	14.43	14.45
	CH ₂ (2)	22.70	23.28	22.05	23.04	23.40	23.68
HMPA ^b	CH ₂ (3)	31.64	32.30	30.95	31.96	32.36	32.73
	CH ₃	36.87	37.04	36.42	36.88	37.10	37.00
methanol	CH ₃	50.41	49.77	48.59	49.97	49.90	49.86
	CH ₃	62.50	63.21	63.28	61.16	63.66	63.08
<i>n</i> -pentane	CH ₃	14.08	14.29	13.28	14.25	14.37	14.39
	CH ₂ (2)	22.38	22.98	21.70	22.72	23.08	23.38
2-propanol	CH ₂ (3)	34.16	34.83	33.48	34.45	34.89	35.30
	CH ₃	25.14	25.67	25.43	25.18	25.55	25.27
pyridine	CH	64.50	63.85	64.92	64.23	64.30	64.71
	CH(2)	149.90	150.67	149.58	150.27	150.76	150.07
	CH(3)	123.75	124.57	123.84	123.58	127.76	125.53
	CH(4)	135.96	136.56	136.05	135.28	136.89	138.35
silicone grease	CH ₃	1.04	1.40		1.38		2.10
	CH ₂	25.62	26.15	25.14	25.72	26.27	26.48
tetrahydrofuran	CH ₂ O	67.97	68.07	67.03	67.80	68.33	68.83
	CH ₃	21.46	21.46	20.99	21.10	21.50	21.50
toluene	C(3)	137.89	138.48	137.35	137.91	138.90	138.85
	CH(2)	129.07	129.76	128.88	129.33	129.94	129.91
	CH(m)	128.26	129.03	128.18	128.56	129.23	129.20
	CH(p)	125.33	126.12	125.29	125.68	126.28	126.29
triethylamine	CH ₃	11.61	12.49	11.74	12.35	12.38	11.09
	CH ₂	46.25	47.07	45.74	46.77	47.10	46.96

Abondance isotopique de différents éléments

Element	Isotope	Accurate Mass	Natural Abundance
Bromine	79Br	78.918336	50.69%
	81Br	80.916289	49.31%
Carbon	12C	12.000000	98.90%
	13C	13.003355	1.10%
Chlorine	35Cl	34.968852	75.77%
	37Cl	36.965903	24.23%
Fluorine	19F	18.998403	100.00%
Hydrogen	1H	1.007825	99.985%
	2H	2.014102	0.015%
Iodine	127I	126.904473	100.00%
Iron	54Fe	53.93961	5.80%
	56Fe	55.93494	91.72%
	75Fe	56.93540	2.20%
Nitrogen	14N	14.003074	99.63%
	15N	15.000108	0.37%
Oxygen	16O	15.994915	99.76%
	17O	16.999131	0.04%
	18O	17.999160	0.20%
Phosphorus	31P	30.973762	100.00%
Silicon	28Si	27.976927	92.23%
	29Si	28.976495	4.67%
	30Si	29.973770	3.10%
Sodium	23Na	22.989767	100.00%
Sulfur	32S	31.972070	95.02%
	33S	32.971456	0.75%
	34S	33.967866	4.21%

Les fragmentations les plus courantes

en spectrométrie de masse

➤ **Alcanes :**

Perte d'un méthyle : $M^{+}\cdot \rightarrow M^{+} + CH_3\cdot$ (**15**)

Suivi d'une perte d'un éthylène : $M^{+} \rightarrow M^{+} + CH_2=CH_2$ (**28**)

➤ **Alcènes :**

Obtention d'un carbocation allylique : $R-CH_2-CH=CH_2^{+}\cdot \rightarrow ^{+}CH_2-CH=CH_2$ (**41**) + $R\cdot$

➤ **Alcools :**

Primaire : $R-CH_2-OH^{+}\cdot \rightarrow R\cdot + CH_2=OH^{+}$ (**31**)

➤ **Ethers :**

Rupture en α : $R-O-CH_2-R^{+}\cdot \rightarrow R-O=CH_2^{+} + R\cdot$

➤ **Amines :**

Rupture en α : $R-NH-CH_2-R^{+}\cdot \rightarrow R-NH=CH_2^{+} + R\cdot$

➤ **Aldéhydes :**

Perte d'un radical hydrogène : $R-CO-H^{+}\cdot \rightarrow R-C\equiv O^{+} + H\cdot$ (**1**)

suivi d'un perte de CO : $R-C\equiv O^{+} \rightarrow R^{+} + CO$ (**28**)

Perte de la chaîne principale : $R-CO-H^{+}\cdot \rightarrow R\cdot + HC\equiv O^{+}$ (**29**)

Rupture en β : $R-CH_2-CO-H^{+}\cdot \rightarrow R^{+} + CH_2=CHO\cdot$ (**43**)

Réarrangement de McLafferty : $RCH_2CH_2CH_2CHO^{+}\cdot \rightarrow RCH=CH_2 + CH_2=CHOH^{+}\cdot$ (**44**)

➤ **Cétones :**

Rupture en α : $R-CO-R'\cdot^{+} \rightarrow R\cdot + R'C\equiv O^{+}$

Réarrangement de McLafferty (voir aldéhydes)

➤ **Acides, esters et amides :**

Réarrangement de McLafferty (voir aldéhydes)

Rupture en α (voir cétones)

Bibliographie

- Identification spectrométrique de composés organiques, Silverstein, Basler et Morill, De Boeck.
- D. W. Brown *Journal of Chemical Education*, **1985**, 62(3), 209.
- Hugo E. Gottlieb, Vadim Kotlyar, and Abraham Nudelman, *J. Org. Chem.* **1997**, 62, 7512-7515.
- D.H. Williams, I. Fleming, *Spectroscopic Methods in Organic Chemistry*, McGraw-Hill.